

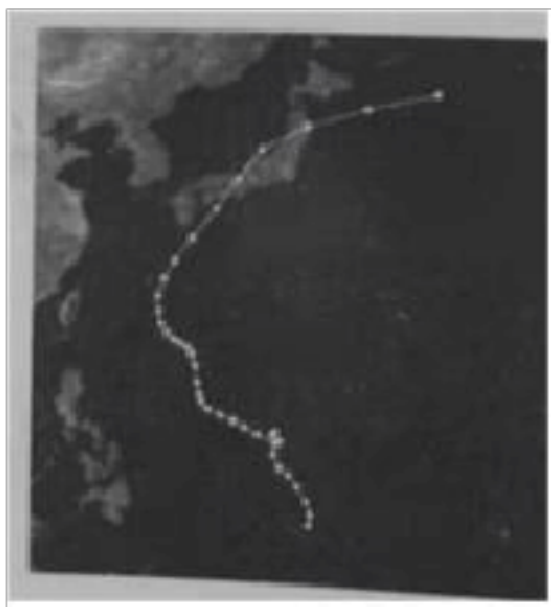
2023 年河北省秦皇岛市青龙县高考地理三模试卷

一、选择题

2016 年 12 月某日，成都双流机场出现一次辐射雾引起的持续性低能见度天气，时间长达 13 个小时。能见度远低于机场最低能见度起降标准，给航空运输带来较大影响。据此完成下面小题。

1. 关于此次低能见度天气开始出现时的天气状况及时间，组合正确的是（ ）
 - A. 晴朗，日出前后
 - B. 多云，正午时刻
 - C. 无风，日落前后
 - D. 雨雪，午夜时分
2. 形成此次低能见度天气的最直接原因是（ ）
 - A. 昼夜温差较大
 - B. 水汽达到饱和
 - C. 对流运动显著
 - D. 气压持续降低
3. 此次低能见度天气发生时的环流背景可能是（ ）
 - A. 冷平流较强
 - B. 暖平流较强
 - C. 高压脊控制
 - D. 低压槽控制

如图示意 2022 年 9 月超强台风“南玛都”移动路径。受此次台风影响，日本受灾严重。据此完成下面小题。

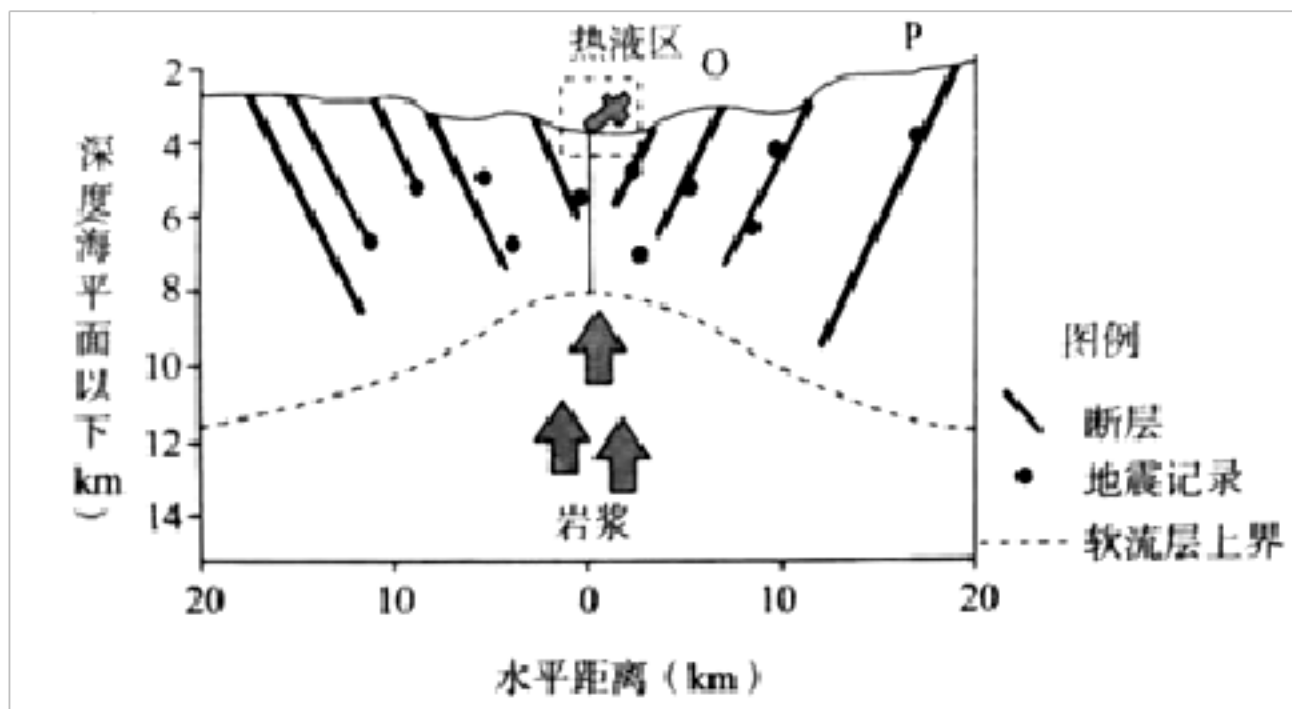


4. 台风“南玛都”的移动方向是（ ）
 - A. 先向东南再向东北
 - B. 先向西南再向东南
 - C. 先向西北再向东北
 - D. 先向东北再向东南
5. 台风“南玛都”导致日本受灾严重的主要原因有（ ）
 - ①台风强度大，破坏力强
 - ②移动路径与日本本土重合度高
 - ③台风的监测预报不及时

④木质房屋抵抗台风的能力较差

- A. ①② B. ②③ C. ①④ D. ③④

洋中脊是绵延于各大洋底的总长达八万公里的火山山脉。地幔的岩浆在洋中脊处上升，快速冷却形成新的大洋地壳。作为板块运动的一部分，在洋中脊形成的大洋地壳在接近俯冲板块边界的过程中逐渐变冷变重，最终俯冲进入地幔，形成一个大洋地壳的循环。如图示意大洋中脊扩张过程。据此完成下面小题。



6. 图中大洋中脊处 ()
- A. 受水平挤压形成断层 B. 热液区多花岗岩
- C. 洋壳俯冲到陆壳之下 D. 洋壳不断向外扩张
7. 图中洋壳的新老关系表现为 ()
- A. 从 O 到 P 先变老再变新 B. 从 O 到 P 由新到老
- C. 从 O 到 P 先变新再变老 D. 从 O 到 P 由老到新

近几十年来，某研究团队对阿尔卑斯山海拔不低于 1700 米、非林地和非冰川区域的积雪覆盖情况以及植被的变化进行观测。对比结果表明，38 年来，在观察区域内，有 10% 的积雪覆盖面积消失，有 77% 的地区植被覆盖率明显升高。据此完成下面小题。

8. 推测观察区域内的地带性植被是 ()
- A. 针阔混交林 B. 针叶林
- C. 高山草甸 D. 阔叶林
9. 阿尔卑斯山积雪覆盖情况以及植被的变化会导致 ()
- A. 生物多样性下降 B. 欧洲水资源增加
- C. 温室效应减弱 D. 土壤碳释放增加

2022 年，全国第七次人口普查中河南省普查数据显示，郑州市成为省内家庭户最年轻的城

市，以家庭成员关系为主，居住一处共同生活的人口，作为一个家庭户。单身居住独自生活的，也作为一个家庭户。下表示意河南省第六次人口普查、第七次人口普查城乡老年人口家庭户占比情况（单位%）。据此完成下面小题。

时间	地区	有 60 岁及以上老年 人口家庭比重	有 65 岁及以上老年 人口家庭比重
第七次人口普查	全省	36.75	28.90
	城镇	30.14	22.85
	乡村	43.87	35.41
第六次人口普查	全省	31.52	22.19
	城镇	26.45	18.55
	乡村	34.62	24.44

10. 郑州市成为河南省家庭户最年轻的城市，主要原因是郑州（ ）

- A. 迁入人口数量大
- B. 迁出人口数量大
- C. 家庭户数量较大
- D. 人口出生率较高

11. 与第六次人口普查相比，河南省第七次人口普查（ ）

- A. 乡村有老年人口的家庭户比重有所下降
- B. 城镇有老年人口的家庭户比重有所下降
- C. 乡村有老年人口的家庭户比重低于城镇
- D. 城乡有老年人口的家庭户占比差距增大

相比于一般城市的单中心、外扩式发展，深圳呈现出城市中心不断变化的多中心发展格局，每个中心都有自己完善的产业、居住、商业配套，高级居住区随着城市中心的转移而转移。据此完成下面小题。

12. 相比于单中心、外扩式发展模式，深圳多中心发展格局（ ）

- A. 通勤距离短
- B. 土地利用率高
- C. 职住分离明显
- D. 城市中心稳定

13. 高级居住区随着城市中心的转移而转移，主要是为了（ ）

- A. 降低住宅与市中心的交通成本
- B. 与市中心保持最佳的通勤距离
- C. 提高居住区周边的环境舒适度

D. 降低市中心附近的住宅区密度

14. 深圳多个城市中心之间 ()

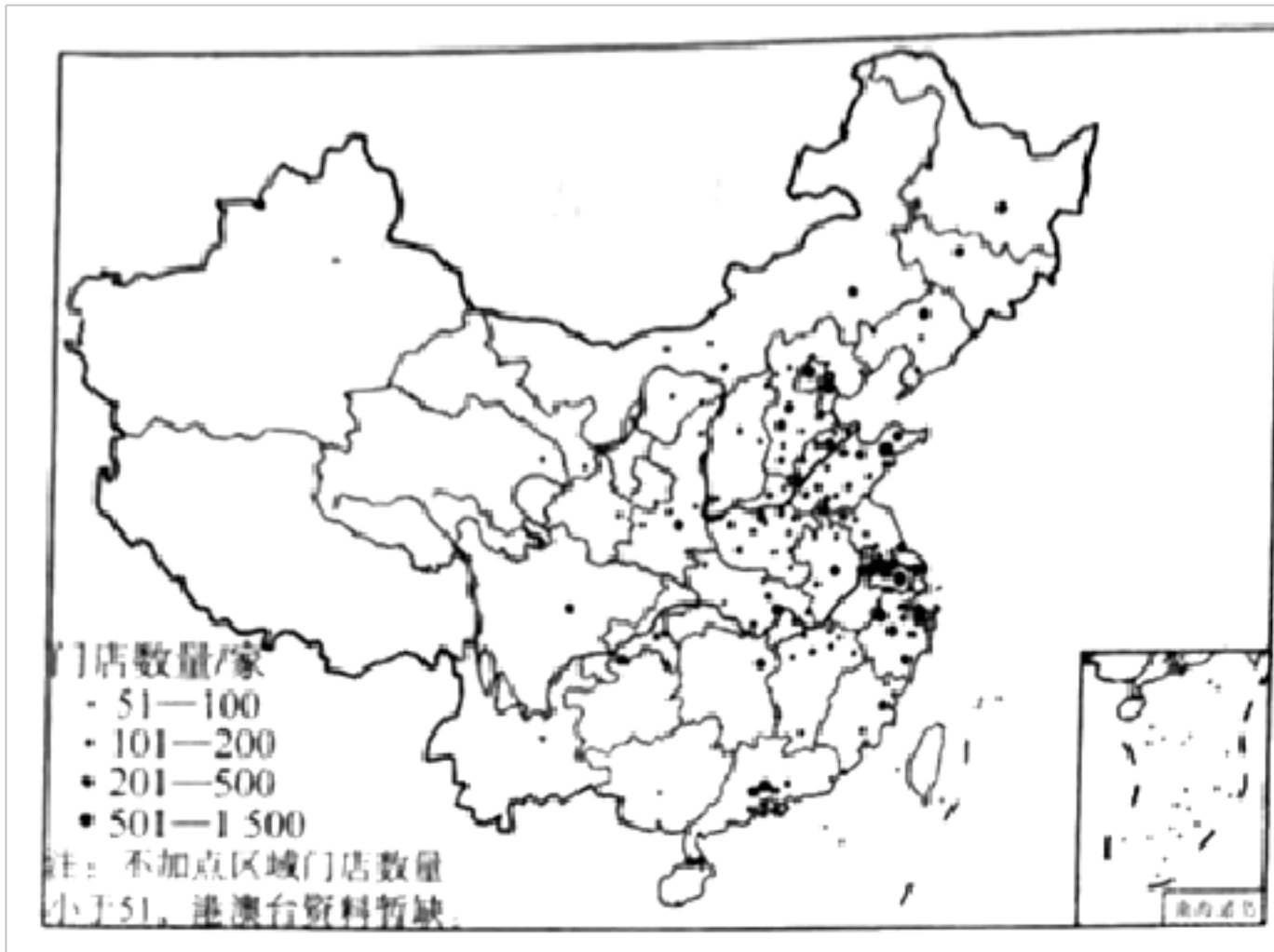
A. 产业类型相同

B. 交通联系较弱

C. 服务功能不同

D. 区间界限明显

地方小吃的空间集聚与扩散是饮食文化空间传播的主要内容之一。如图示意 2019 年我国某著名小吃门店数量分布, 该小吃起源于兰州。据此完成下面小题。



15. 该小吃门店数量分布 ()

A. 集中于我国中东部地区

B. 主要受饮食文化影响

C. 与城市等级规模关系小

D. 空间集聚特征不明显

16. 该小吃在空间扩散过程中 ()

A. 从起源地由近及远扩散

B. 从起源地由远及近扩散

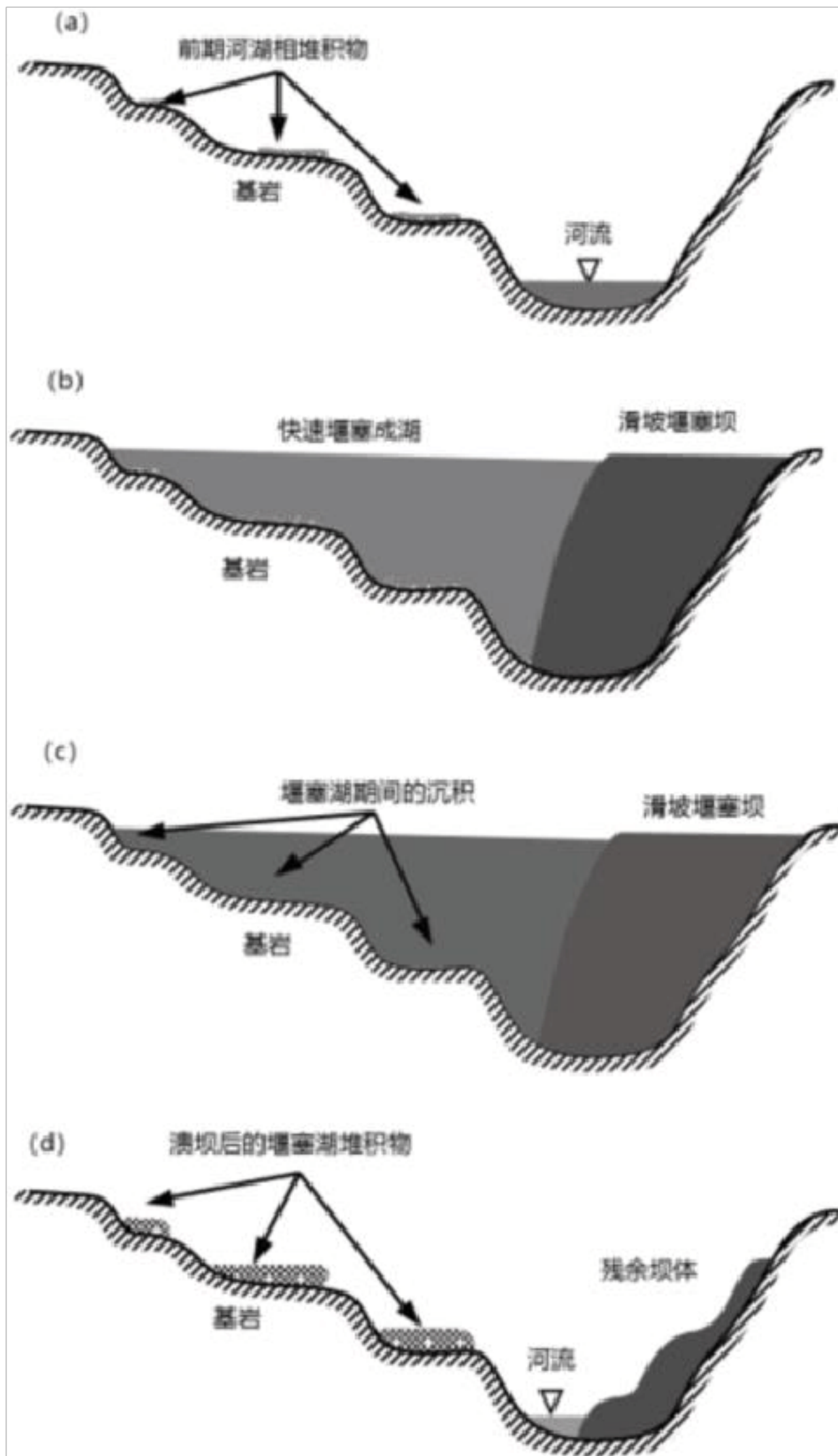
C. 具有跳跃式扩散的特点

D. 起源地与集聚地距离近

二、综合题

17. 阅读图文资料, 完成下列要求。

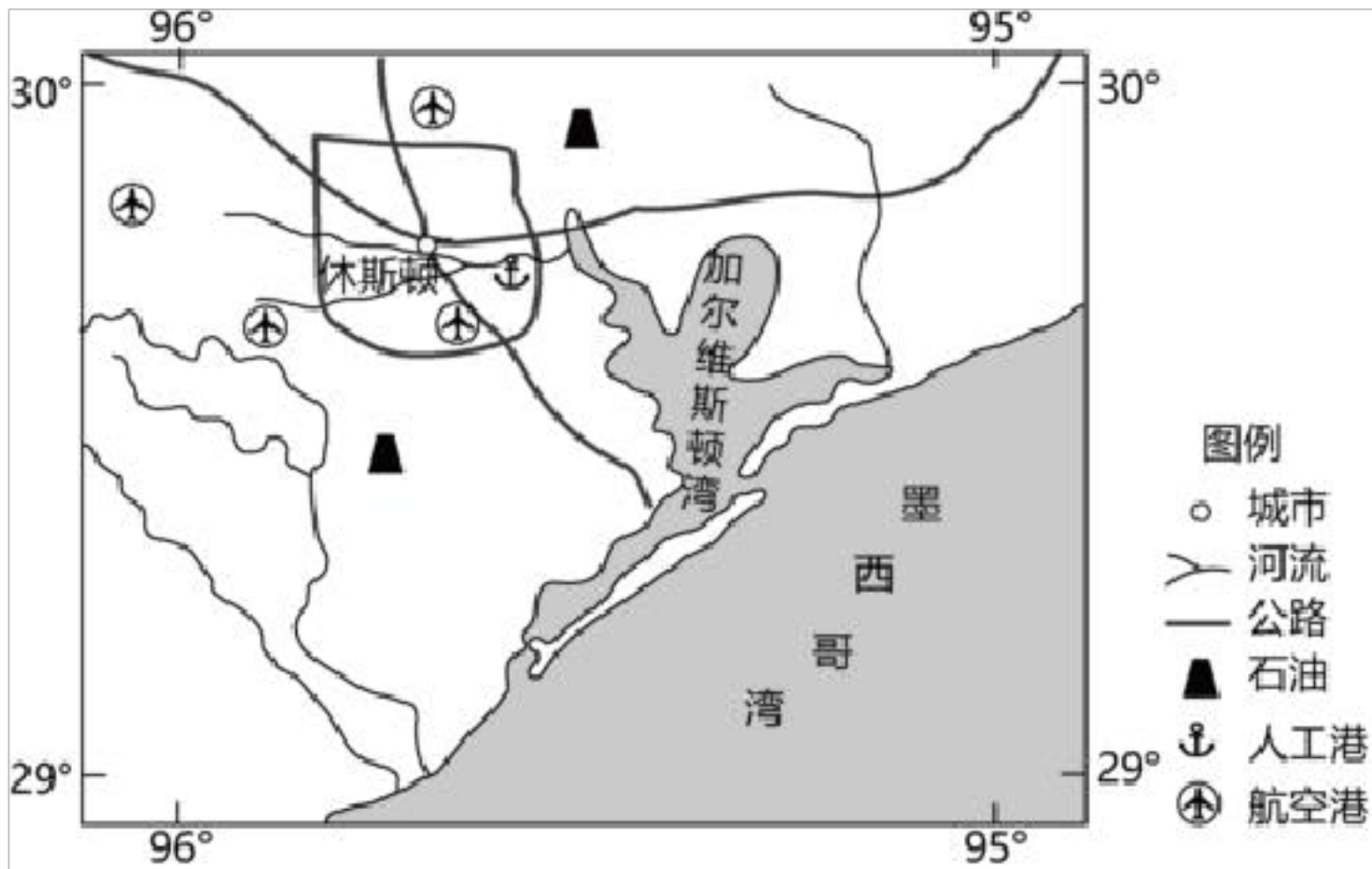
堰塞湖是由火山熔岩流，或由地震活动等原因引起的崩滑坡体等堵截河谷或河床后贮水而形成的湖泊。金沙江流经高山峡谷，堰塞湖多发。如图示意金沙江某次堰塞成湖到溃坝消亡过程，该过程历时往往较短。



- (1) 判断 a 时期河湖相堆积物年龄分布特点，并说明理由。
- (2) 指出 d 时期堰塞湖堆积物出露的地形条件，并分析原因。
- (3) 溃坝后的堰塞湖堆积物在不同高度的形成时间相同，对此作出合理解释。

18. 阅读图文资料，完成下列要求。

大型化、集群化、基地化是世界石化工业发展的趋势。休斯顿化工产业集群内拥有近 30 家石油和化工企业，这些企业依托化工产业链，实现了上、中、下游产品投入、产出的分工与合作的网络化。工业园区与园区之间通过管道等连接形成配套体系。如图示意休斯顿地理位置。



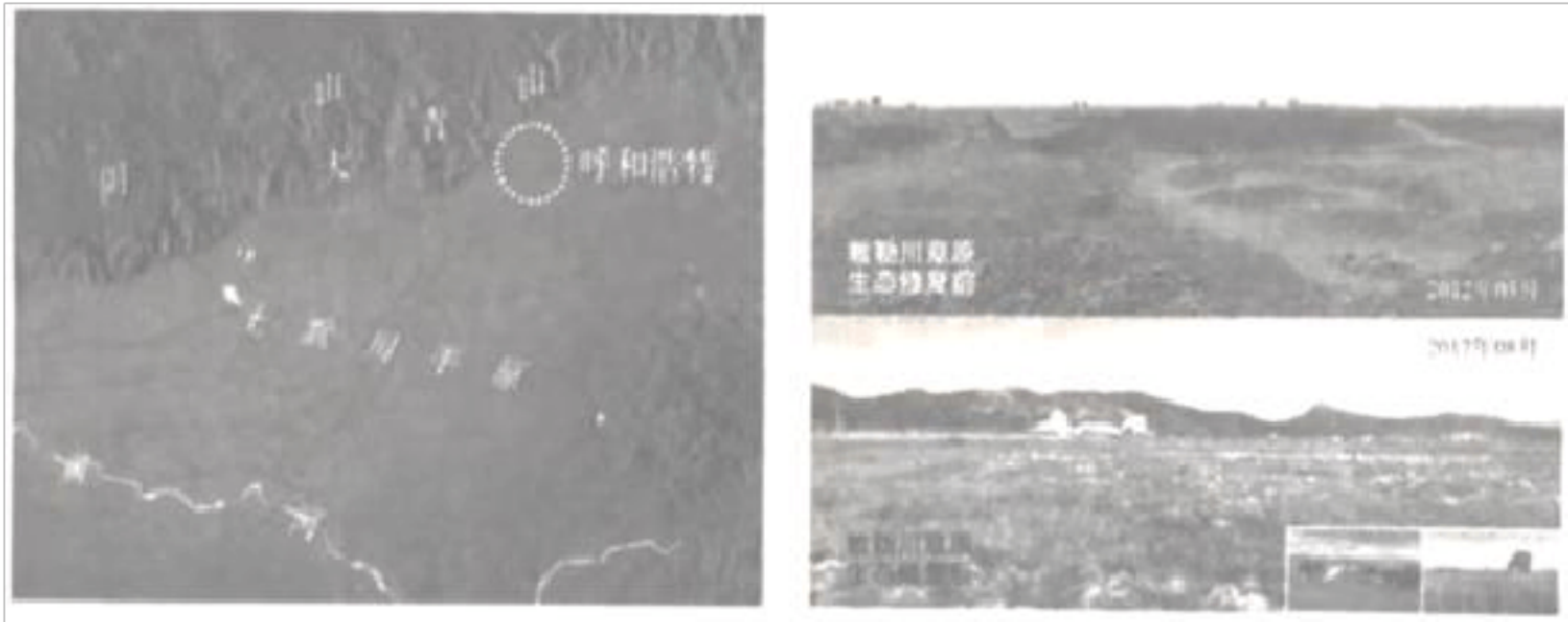
(1) 用☆在图中适当位置画出休斯顿化工产业集群的分布位置。

(2) 简述休斯顿网络化产业链的社会经济效益。

(3) 分析休斯顿园区与园区之间用管道连接的好处。

19. 阅读图文资料，完成下列要求。

阴山山脉大青山南麓的敕勒川（现为土默川平原，左图）位于大陆性半干旱气候区，降水集中。2012 年之前，受多年干旱少雨、开垦采石等因素影响，这片近 3 万亩的天然草场生态环境不断恶化。2012 年起，当地政府开始实施草原修复工程。右图示意敕勒川草原生态修复前后景观对比。



- (1) 分析敕勒川草原在修复过程中面临的困难。
- (2) 推测敕勒川草原修复工程的主要内容，并为敕勒川草原的可持续发展献计献策。

2023 年河北省秦皇岛市青龙县高考地理三模试卷

参考答案与试题解析

一、选择题

2016 年 12 月某日，成都双流机场出现一次辐射雾引起的持续性低能见度天气，时间长达 13 个小时。能见度远低于机场最低能见度起降标准，给航空运输带来较大影响。据此完成下面小题。

1. 关于此次低能见度天气开始出现时的天气状况及时间，组合正确的是（ ）
- A. 晴朗，日出前后
B. 多云，正午时刻
C. 无风，日落前后
D. 雨雪，午夜时分

【分析】对流层大气的受热过程：太阳通过太阳辐射把能量给了大地，地面吸收热量以后，通过地面辐射把能量给了大气，大气吸收热量后通过大气逆辐射把能量还给了大地。大气对太阳辐射的削弱作用：散射（空气分子散射蓝色光，使天空呈蔚蓝色）、反射（云反射太阳辐射，使天空呈灰色）、吸收（二氧化碳、水汽吸收红外线；臭氧吸收紫外线）。大气对地面的保温作用：云层越厚，大气逆辐射越强，所以阴天的夜晚气温高一些。

【解答】解：辐射雾发生时，地面温度低，多在夜间，根据其持续时间推断，开始出现时应为日落前后，C 正确，A 错误。

此次低能见度天气是由辐射雾引起的，且持续了 13 个小时，辐射雾发生时对应的是晴朗和无风天气，BD 错误。

故选：C。

2. 形成此次低能见度天气的最直接原因是（ ）
- A. 昼夜温差较大
B. 水汽达到饱和
C. 对流运动显著
D. 气压持续降低

【分析】形成此次低能见度天气的最直接原因可以从水汽、降温、凝结核等角度分析。

【解答】解：雾的形成是随着近地面降温，水汽过饱和所致，所以其形成的直接原因是水汽达到饱和，B 正确。

对流运动显著和气压持续降低并不是雾形成的条件，C、D 错误。

昼夜温差大是其形成的条件，但不是直接原因，A 错误。

故选：B。

3. 此次低能见度天气发生时的环流背景可能是（ ）

- A. 冷平流较强
- B. 暖平流较强
- C. 高压脊控制
- D. 低压槽控制

【分析】雾形成的条件一是冷却，二是加湿，增加水汽含量。这是由辐射冷却形成的，多出现在晴朗、微风、近地面水汽比较充沛且比较稳定或有逆温存在的夜间和清晨，气象上叫辐射雾；另一种是暖而湿的空气作水平运动，经过寒冷的地面或水面，逐渐冷却而形成的雾，气象上叫平流雾。

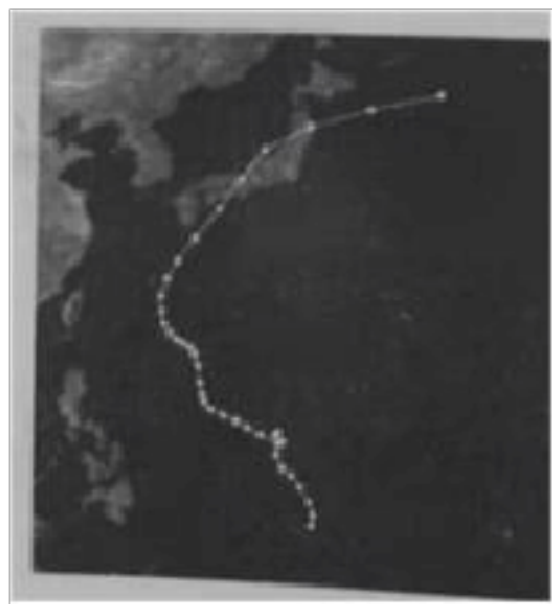
【解答】解：雾的形成条件是对流弱和风力小。冷平流和暖平流伴随着较大风力，A、B错误。

低压槽伴随着较强的对流运动，D错误。

而高压脊控制，盛行下沉气流，风力微弱，最有可能形成辐射雾，C正确。

故选：C。

如图示意2022年9月超强台风“南玛都”移动路径。受此次台风影响，日本受灾严重。据此完成下面小题。



4. 台风“南玛都”的移动方向是（ ）

- A. 先向东南再向东北
- B. 先向西南再向东南
- C. 先向西北再向东北
- D. 先向东北再向东南

【分析】台风生成于热带海域，移动方向主要跟地转偏向力、盛行风、高压脊等因素的影响向较高纬度地区移动。

【解答】解：根据材料及所学知识可知，台风生成于热带海域，该台风位于北半球，受向右的地转偏向力、东南季风和夏威夷高压影响，台风“南玛都”移动方向是先向西北再向东北，C正确，ABD错误。

故选：C。

)

- ①台风强度大，破坏力强
- ②移动路径与日本本土重合度高
- ③台风的监测预报不及时
- ④木质房屋抵抗台风的能力较差

- A. ①② B. ②③ C. ①④ D. ③④

【分析】台风“南玛都”导致日本受灾严重的原因主要从受灾面积、受灾地区经济发展水平、台风强度等方面分析。

【解答】解：从文字材料中可知，“南玛都”为超强台风，破坏力强，造成损失大，①正确。

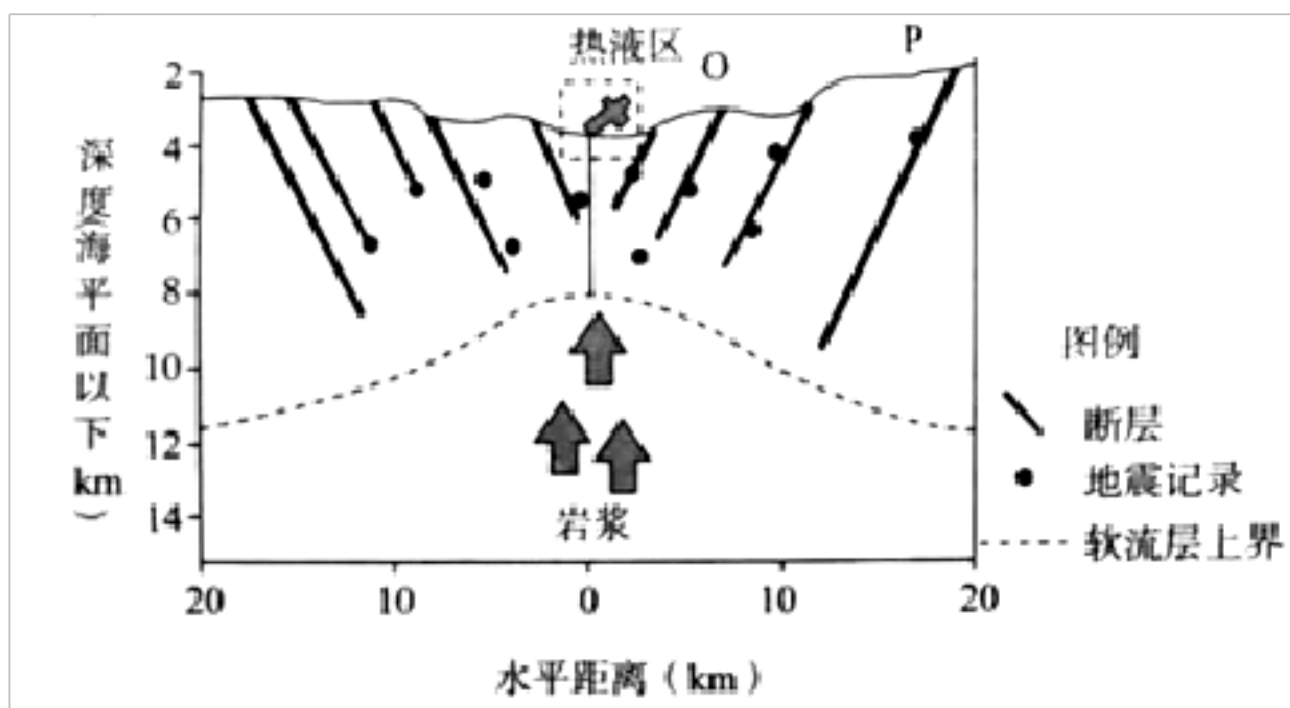
从图中可以看出，“南玛都”移动路径与日本本土重合度高，两次登陆本州岛，造成的损失大，②正确。

目前，日本台风灾害能及时预报，③错误。

木质房屋抵抗台风能力差不是主要原因，④错误。

故选：A。

洋中脊是绵延于各大洋底的总长达八万公里的火山山脉。地幔的岩浆在洋中脊处上升，快速冷却形成新的大洋地壳。作为板块运动的一部分，在洋中脊形成的大洋地壳在接近俯冲板块边界的过程中逐渐变冷变重，最终俯冲进入地幔，形成一个大洋地壳的循环。如图示意大洋中脊扩张过程。据此完成下面小题。



6. 图中大洋中脊处 ()
- A. 受水平挤压形成断层
 - B. 热液区多花岗岩
 - C. 洋壳俯冲到陆壳之下
 - D. 洋壳不断向外扩张

板块相对移动，彼此碰撞或张裂，形成地球表面的基本面貌；在大洋板块和大陆板块聚合带，大洋板块俯冲到大陆板块之下，并形成深邃的海沟；大陆板块受上拱，隆升并形成岛弧和海岸山脉；在两个大陆板块碰撞处，则形成高大的山脉。在板块张裂地区，常形成裂谷或大洋中脊。

【解答】解：根据材料及图示信息可知，地幔的岩浆在洋中脊处上升，快速冷却形成新的大洋地壳；作为板块运动的一部分，在洋中脊形成的大洋地壳在接近俯冲板块边界的过程中逐渐变冷变重，最终俯冲进入地幔，形成一个大洋地壳的循环；所以洋中脊处两侧地壳向外张裂扩张，为生长边界， 错误，D 正确。

根据所学知识可知，热液区岩石多为喷出型岩浆岩，在远离洋中脊的地方，大洋地壳逐渐变冷变重，俯冲板块边界俯冲入地幔，BC 错误。

故选：D。

7. 图中洋壳的新老关系表现为（ ）

A. 从 O 到 P 先变老再变新

B. 从 O 到 P 由新到老

C. 从 O 到 P 先变新再变老

D. 从 O 到 P 由老到新

【分析】岩浆岩主要有侵入和喷出两种产出情况。侵入在地壳一定深度上的岩浆经缓慢冷却而形成的岩石，称为侵入型岩浆岩，如花岗岩；当岩浆沿着地下通道喷出地表，则冷却凝结形成喷出岩，如玄武岩、安山岩和流纹岩。

【解答】解：从上题可以得出，大洋中脊处地壳向外扩张；结合文字材料对大洋地壳循环的描述可推测，大洋中脊处形成的岩石最新，越往两侧，岩石越老，最终在海沟处消失，形成大洋地壳循环，所以图中从 O 到 P 岩石的新老关系表现为由新到老，B 正确，ACD 错误。

故选：B。

近几十年来，某研究团队对阿尔卑斯山海拔不低于 1700 米、非林地和非冰川区域的积雪覆盖情况以及植被的变化进行观测。对比结果表明，38 年来，在观察区域内，有 10% 的积雪覆盖面积消失，有 77% 的地区植被覆盖率明显升高。据此完成下面小题。

8. 推测观察区域内的地带性植被是（ ）

A. 针阔混交林

B. 针叶林

C. 高山草甸

D. 阔叶林

【分析】在山区，气温和降水随着海拔的增加而发生变化，从而形成了不同的植被、土壤和动物类型的组合。地表景观随高度发生有规律的更替现象，叫做垂直地域分异；造

以上内容仅为本文档的试下载部分，为可阅读页数的一半内容。如要下载或阅读全文，请访问：<https://d.book118.com/027143140063006045>